Experimentelle und theoretische Untersuchung des Druckfallproblems

#### Übersicht

Die Gasblase im Organismus wird als die bestimmende Größe für die Konstruktion von beschwerdelosen Dekompressionen erkannt. Auf dieser Grundlage und unter Berücksichtigung des empirischen Materials wird ein Satz von erlaubten Gasspannungen im Gewebe vorgeschlagen. Hieraus lassen sich für beliebige Tauchgänge in Helium-Stickstoff-Gemischen Dekompressionsschemata berechnen. Eine Formel für das Blasenwachstum im Organismus bei einer Dekompression wird entwickelt und zur Diskussion der erlaubten Gasspannungen herangezogen. Im Anhang werden Tauchversuche des Instituts und die Tauchtabellen des "U.S. Diving Manuals" analysiert.

Experimental and Theoretical Investigation of the Decompression Problem

#### Summary

The bubble in the organism is recognized as the governing quantity for the construction of safe decompressions. On this basis and using the empirical material a set of allowed gas tensions in the tissue is proposed. From this decompression schedules for arbitrary dives in helium-nitrogen mixtures can be calculated. An expression for the bubble growth in the organism during a decompression is developed and applied to the discussion of the allowed gas tensions proposed here. In the appendix dives of the institute and the decompression schedules of the "U.S. Diving Manual" are analysed.

4

 $\mathcal{S}$ 

				ssit	and the state of t	Y			ru o billo Madabeto 		J.	#	3.	2.	1-2	15
Zusammenfassung	5.2.2 Diskussion	5.2.1 Herleitung	5.2 Grundgleichung für das Blasenwachstum	5.1.6 Modell für die Gasblase	5.1.5 Gastransport in eine Blase	5.1.4 Gastransport im Organismus	5.1.3 Gaskeime	5.1.2 Druckbilanz der Gasblase	5.1.1 Gasblasen als Ursachen der Druckfallbeschwerden .	5.1 Grundlagen	Berechnung der Gasblase	Vorschlag zur Vereinheitlichung der erlaubten Gasspannungen	Prinzip der beschwerdelosen Gasblase	Haldanesches Prinzip	Einleitung	
N O	30	26	26	26	24	22	21	21	20	20	<del>\</del>	15	14	9	-7	(

#### A. Anhang

the matrix of

1 by 460g

Arbeiten unter Druckluft			M							7	A
der im Institut für Flugmedizin der DFVLR hrten Dekompressionsversuche			3								μ <b>.</b> •
r DFVLR	3.2			2.2	A 2.1.4 Da		2.1.2	2.1.1		Analyse de ausgeführt	Unser Vors
r DFVLR	ersuchsdaten	läuterung	r Tauchtabel	reuchsdaten	ıten der einz	ırzprotokoll	schreibung d	erschrift	läuterung	en Instituen Dekompres	ochlag für Aunter Drucklu
r DFVLR	•	•	Llei		zelı	•	ler	•	•	1t 1	ıft
r DFVLR	•	•	• 5	•	ıer	•	Ω	•	•	ni	- E
r DFVLR	:	•	les		<u>~</u>		SS		:	A Pd	leu
r DFVLR			• =		er		Sug			nT.	ารเ
r DFVLR	•	•		•	suc.	•	amm			Igme Such	Ban
r DFVLR	•	•	·z	•	he	•	en	•	٠	е С	• ct
r DFVLR	•	•	av	•		٠	s e	•	•	· 12	• be
r DFVLR	•	٠	• ४	•	•	•	ťΖ	•	•		•    
r DFVLR	•	•	· Di	•	•	•	nn	•	•	de •	• en
VLR	•	•	· 4	•	•	•	04	•	•	• 13	
VLR	•	•	• ga	•	•	•	•	•	•	·	· ü
	•	٠	•	•	٠	•	•	•	•	٠	٠ م
	•	•	•	•	•	•	•	٠	٠	• Ä	• b
	•	•	•	•	•	•	•	•	•	•	•
18 18 14 14 14 14 14 14 14 15 16 17 18 18 18 18 18 18 18 18 18 18 18 18 18	•	•	•	•	•	•	•	•	٠	•	•
	81	81	81	214	<b>⊢</b> →	41	10	39	39	39	35

### 1. Einleitung

Dekompression nach Sättigung wurde Vorfall und durch das Fehlen jeglicher Anhaltspunkte für die Stunden in einer Luftblase eingeschlossen waren. Durch diesen die Bergung von drei verschütteten tuts (H. HARTMANN, H.D. FUST, K.H. stellen herangezogen. Im Jahre 1963 leitete ein Team des Instiund von der Bauindustrie zur Beratung bei neuen Caissonbau-Mitarbeiter des Instituts, O. WÜNSCHE, von staatlichen Stellen zinischen Erfahrungen bei Caissonarbeiten wurde nämlich ein blems in das Forschungsprogramm aufgenommen. Wegen seiner medider Arbeiten im Jahre 1952 die Untersuchung des Druckfallproöffentlicht. schemata dieser Versuche sind zum großen Teil noch nicht ver-Sättigungstauchversuchen in Stickstoff-Sauerstoff- bzw. Heliumsich der Ausschleusung nach solchen Im Institut für Flugmedizin wurde bald nach der Wiederaufnahme Sauerstoff-Atmosphären durch (s. Tabelle 1). Die Dekompressionsten anzunehmen. Er führte eine Reihe von aufsehenerregenden HARTMANN [2] veranlaßt, Grubenarbeitern, die 196 WEINER) [1] in Lengede langen Überdruckaufenthal-

Parallel zu den experimentellen Untersuchungen wurden von K.G.
MÜLLER und S. RUFF [3, 4, 5] theoretische Arbeiten begonnen,
deren Ziel es war, zu einem beliebigen Aufenthalt bei erhöhtem
Druck ein gefahrloses Dekompressionsschema zu berechnen. Hierbei entstanden ein Vorschlag für die Ausschleusungstabellen
der "Verordnung für das Arbeiten unter Druckluft" und eine Reihe
von Dekompressionsschemata für spezielle eigene Versuche. In
diesem Forschungsbericht sollen die Ergebnisse der experimentellen und theoretischen Untersuchungen des Druckfallproblems
im Institut für Flugmedizin der DFVLR zusammenfassend dargestellt werden.

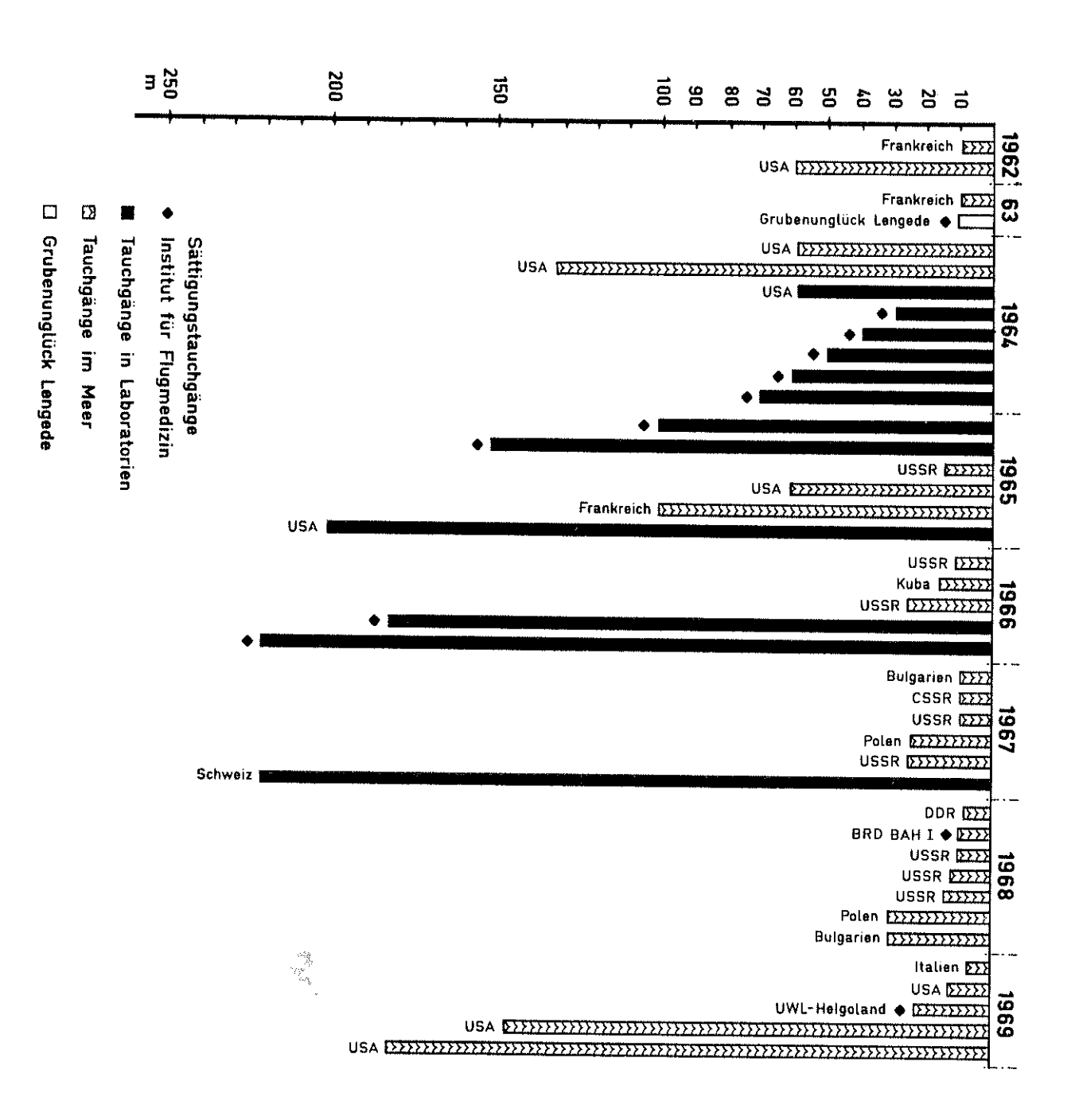


Tabelle 1 Übersicht über die experimentellen Sättigungstauchversuche des Instituts für Flugmedizin im Vergleich zu solchen ausländischen Experimenten.

 $\infty$ 

130

### 2. Haldanesches Prinzip

mensetzung von löste dieser Atmosphäre Jeder Dekompression muß so sich zusätzlich Organismus enthält Gasmenge keine der umgebenden Atmosphäre bestimmt ist. Wird in der Druck erhöht, Gas Beschwerden hervorruft. langsam ablaufen, daß diese zusätzlich geim gelöstes Gas, dessen Menge und Zusam-Organismus. Eine sich anschließende wie z.B. beim Tauchen, so

rung dieses Prinzip ein. zuerst beim Tauchen auf. Die Druckes spannung Frage nach einer solchen beschwerdelosen Dekompression trat gleichmäßigen, d.h. Pex Ptis der umgebenden Atmosphäre ausmachen darf: Verfahrens 田 im Gewebe höchstens den doppelten Betrag des nahm an, führte daß Zunächst sammelte man Erfahrungen mit linearen Dekompression. Zur Verbessewährend HALDANE [6] ein theoretisches der Dekompression die Gas-

$$(1) P_{tis} \leq 2 P_{ex}$$

Bei Luftatmung beträgt die Stickstoffspannung  $p_{tis}$  im Gewebe 79% der Gesamtgasspannung  $P_{tis}$ , und wir können die Gleichung (1) umschreiben:

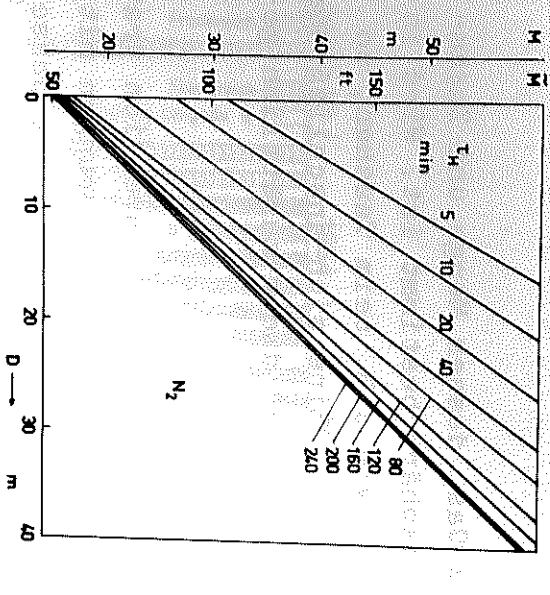
The waters

$$p_{tis} \leq 1,58 P_{ex}$$

(2)

Gegensatz zur ursprünglichen linearen Dekompression eine fort-Überlegungen ließen sich Tauchtabel Gasspannungen sich mit unterschiedlicher Halbwertszeit  $\tau_{\rm H}$ laufend auf die Im Organismus unterschied HALDANE jeweilige langsamere Spannung Dekompression im Atemgas einstellen. ze Ф len herleiten, die im ine Reihe von Geweben, deren gten. Aus diesen

<sup>+)</sup> Bei diesen Überlegungen wurde vorausgesetzt, daß ein aus verschiedenen Komponenten zusammengesetztes Atemgas wie ein einheitliches Gas in das Gewebe transportiert wird. Die unter dieser Voraussetzung berechnete Gesamtgasspannung im Gewebe bezeichnen wir mit Ptis. Die tatsächliche Gesamtgasspannung Pim Gewebe ist kleiner als Ptis, da die Sauerstoffspannung im Gewebe immer niedriger ist als im Atemgas.



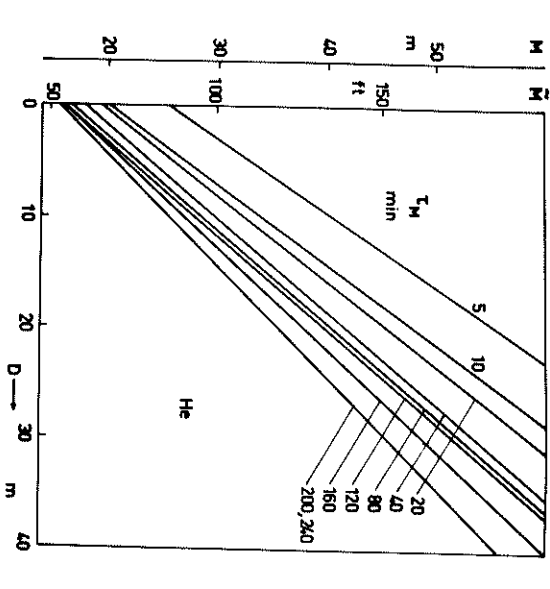
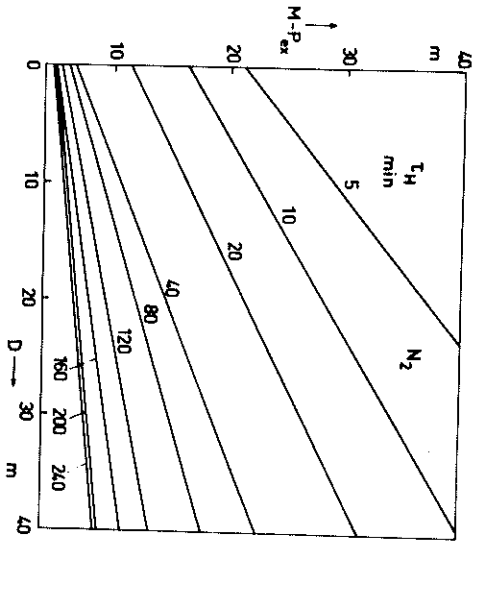
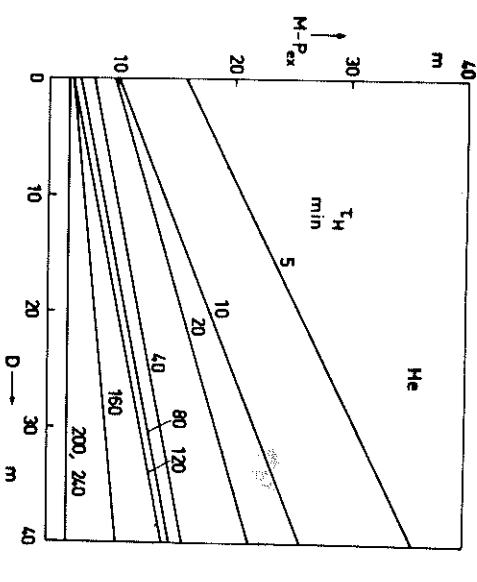


Bild 1,2
Erlaubte Spannungen M in Geweben verschiedener Halbwertszeit TH Erlaubte Spannungen M in Geweben verschiedener Halbwertszeit TH Für Stickstoff und Helium in Abhängigkeit von der Tauchtiefe D nach WORKMAN [8]. Bei den M-Werten ist die Spannungsdifferenz Ass Thertmases von 30 Torr = 0,39 m zwischen Atemgas und Gewebe





The Allie

zeit 1 tiefe Erlaubte D 4 für s Überspannungen M-P<sub>ex</sub> in Geweben verschiedener Halbwerts-für Stickstoff und Helium in Abhängigkeit von der Tauch-nach WORKMAN [8].

> reichen Beschwerden, in anderen Bere Gasspannungen als Funktion der Halbwertszeit  $T_{
> m H}$  und des äußeren Mit wachsender praktischer Erfahrung Druckes größeren Tauchtiefen. Halbwertszeiten und mäßigen Tauchtiei ursprünglich konstante sionszeiten auftraten. bei Pex: Beachtung des Man erhielt so Haldaneschen Prinzips in bestimmten Be-Spannungsverhältnis von 2 : 1 bei kurzen Zur Verbesserung vergrößerte man das fen und verringerte es bei ichen zu lange Dekompresobere Grenzwerte M der beim Tauchen erwies sich,

$$p_{tis} \leq M(T_H, P_ex).$$

Häufig gibt man auch Z als Funktion des Spannungsverhältnisses

$$r = \overline{P}_{tis} / P_{ex}$$

(4)

bestimmt. Aus den erlaubten Spannung und der Halbwertszeit  $T_{
m H}$ Überspannung (M-P<sub>ex</sub>) ableiten. tell für die einzelnen Inertgase, an. Die Wer W1 e z.B. Stickstoff und Helium, en M läßt sich eine erlaubte te für M wurden experimen-

gere Bereich von Isopressionszeiten und Tauchtiefen zuverlässige Werden abgeändert. Man erhielt schließlich für einen bestimmten zips Die erlaubten Spannungen dieses erwe der erlaubten Spannungen. von G1.(3) Halbwertszeiten kamen hinzu, di wurden fortlaufend korrigiert. Kürzere und läne alten Spannungswerte wuriterten Haldaneschen Prin-

der US-Navy von DES GRANGES überspannungen aufgetragen, die eine Gerade wurden. uals In den Bildern 1 bis 4 haben wir die für die erlaubte verwendet und später von WORKMA Bei einer vorgegebenen Halbw Gasspannung M [7] als zur in d 坦 unktion der Tauchtiefe D  ${ t ertszeit} \; { t T}_{ t H} \; { t ergibt} \; { t sich}$ N [8] weiter entwickelt Aufstellung des Diving Maner Experimental Diving Unit erlaubten Spannungen bzw.

# (5) $M(T_H, D) = M_{\bullet}(T_H) + \Delta M(T_H) \cdot D/10$

die durch die beiden Größen

Gasspannung  $M_o$  bei der Tauchtiefe O, Anstieg  $\Delta M$  der Geraden: Zuwachs je 10 m Zuwachs von D

charakterisiert wird. Die in Bild 1 und 2 gezeigten Spannungswerte lassen sich also vereinfacht in einer Tabelle der M-Werte und  $\Delta M$ -Werte zusammenfassen (s. Tabelle 2).

10 20 40 80 120 160 240	τ <sub>H</sub>
26,3 16,6 16,6 15,0 15,0 14,7	[m]
10# 88 72 56 51 51	M 2
18 14 14 12 11 11 11 11	ΔM [m/1o m]
25,7 20,0 19,6 17,8 16,6 16,0 15,7	[m] M
74 55 55 55 55 60 60 60 60 60 60 60 60 60 60 60 60 60	He Mo [ft]
15 14 13 12 12 12 12 11 10	ΔM [m/10 m]

W ANDRON

Tabelle 2 Erlaubte Spannungen der Gase N<sub>2</sub>, He im Gewebe (G1.5) nach WORKMAN [8]. Bei den M<sub>0</sub>-Werten wurde die Spannungsdifferenz des Inertgases von 30 Torr = 0,39 m zwischen Atemgas und Gewebe vernachlässigt.

Bei einer Dekompression im Tauchversuch mit anschließender Rekompression kann man wesentlich höhere Spannungswerte als die in Bild 1 und 2 zulassen. Diese Tatsache ist von Bedeutung bei der Berechnung von sogenannten Oberflächendekompressionen. Bei diesem Verfahren wird der Taucher beschleunigt zur Oberfläche gebracht, in einer Überdruckkammer rekomprimiert und anschließend langsam dekomprimiert. Vor der Aufnahme in die Überdruckkammer hält er sich eine kurze Zeit bei Normaldruck auf. Hier sind also erlaubte Grenzwerte bei Normaldruck in Abhängigkeit von der Aufenthaltsdauer interessant.

Ein Problem entsteht, wenn man versucht, das erweiterte Haldanesche Prinzip auf Tauchvorgänge mit wechselnden Atemgasen anzuwenden. Ein vorgegebenes Gewebe wird für die einzelnen Atemgase
unterschiedliche Halbwertszeiten besitzen. SCHREINER [9] hat für
eine Reihe von Gasen die Halbwertszeiten für verschiedene Gewebe zusammengefaßt, wobei die Gewebe durch die Durchblutung
und den Fettgehalt charakterisiert werden (s. Tabelle 3).

12 K4 G0 C1 C2 K4 G	Compart- ment
0,008 0,008 0,008 0,008 0,008 0,008 0,008 0,008 0,008 0,008 0,008	Durch- blutung [cm <sup>2</sup> /min cm <sup>3</sup> ]
30 70 100 30 70 100 100 30 70 100	Fett- gehalt [%]
127 127 127 127 127 127 127 127 127 127	N <sub>2</sub>
122 139 140 153 153 153 153 153	Halbwertsz He Ne
108 171 175 175 175 175	e <u>i</u> .
128 128 128 128 128 128 128 128 128 128	ten [min]

Tabelle 3 Halbwertszeiten der einzelnen Compartments für die Gase N<sub>2</sub>, He, Ne, Ar nach SCHREINER [9].

Insgesamt berücksichtigt er 15 verschiedene Gewebe, die er als "Compartments" bezeichnet. Bei Kenntnis der Halbwertszeiten lassen sich die Gasspannungen der einzelnen Gase und die Gesamtgasspannung berechnen. Man weiß aber ohne weiteres nicht, woran man jetzt entweder die einzelnen Gasspannungen oder aber die Gesamtgasspannung messen soll. In praktischen Fällen verglich man die sich ergebende Gesamtgasspannung mit der erlaubten Spannung der überwiegenden Komponente.

Zustand der Sättigung des Gewebes kehrte man wieder zur linearen Dekompression zurück. Bei einer solchen linearen Dekompression bildet sich nach Ablauf von einigen Halbwertszeiten in den einzelnen Geweben eine zeitlich konstante Überspannung (ptis-Pex) aus, die der Halbwertszeit und der Dekompressionsgeschwindigkeit proportional ist. Die zulässige Dekompressionsgeschwindigkeit wurde empirisch ermittelt oder unter Annahme einer bestimmten erlaubten Überspannung errechnet.

In dem ursprünglichen Haldaneschen Prinzip von Gl. (1) ließen sich alle Dekompressionen aus einem Zahlenwert, nämlich dem erlaubten Spannungsverhältnis, herleiten. Das erweiterte Haldanesche Prinzip arbeitet mit einer ganzen Tabelle von erlaubten Gasspannungen, die von Gasart, Halbwertszeit, Tauchtiefe und gegebenenfalls auch noch von der Aufenthaltsdauer abhängen. Damit wurde das ursprünglich einfache Haldanesche Prinzip zu einem komplizierten Rechenschema verändert.

# 3. Prinzip der beschwerdelosen Gasblase

Aus klinischen und experimentellen Untersuchungen ist bekannt, daß Gasblasen im Organismus die Druckfallbeschwerden verursachen Wir kommen so zu dem physiologisch begründbaren Prinzip, daß bei der Dekompression durch Gasblasen keine Beschwerden hervorgerufen werden dürfen. Dies ist einmal der Fall, wenn überhaupt keine Gasblasen auftreten. Nehmen wir an, daß zum Auftreten von Gasblasen eine bestimmte Überspannung notwendig ist, die noch von der Halbwertszeit und der Tauchtiefe.abhängt, so gilt hierfür wiederum das erweiterte Haldanesche Prinzip von Gl. (3).

Wir können aber auch eine weniger beschränkende Forderung stellen, nämlich, daß die Gasblasen zwar auftreten, aber keine Beschwerden hervorrufen dürfen.

momentan Gasblasen bilden, die dann höhung wieder zusammenfallen. der zum Verschwinden gebracht werden können. Diese Beschwerden Druckerhöhung wieder auf eine beschwerdelose Größe zurückgehen. gung eine bestimmte, kritische Größe überschreiten und bei der schwerden führt, die bei einer ents tionen, bei denen eine geringfügige Tauchvorgängen beschwerdelose Gasblasen auftreten. Es gibt Situa-Aus der Praxis liegen Anhaltspunkte kann diesen Vorgang nur schwier gut zu erklären mit Gasblasen, ig damit erklären, daß sich die bei der Druckerniedriprechenden Druckerhöhung wie-Druckerniedrigung zu Bedafür vor, daß bei bestimmten bei der geringen Drucker-

daß ein Dekompressionsschema bei kurzen Zeiten einen wesentlich entwickeln, daß sie Beschwerden hervorruft. Wir erwarten also, sionszeiten wird sich eine einmal gebildete Blase nicht soweit würden. Bei beschwerdelosen Tauchvorgängen mit kurzen Dekompreshaupt keine Gasblasen bilden, da sie sich sonst wegen der sehr mit sehr langen Dekompressionszeiten dürfen sich praktisch überliche Anwendungsbereiche. Bei beschwerdelosen Tauchvorgängen bzw. nur beschwerdelose Gasblasen auftreten, haben unterschiedsionsschemata der Tauchtabellen mit auf diesen Effekt gibt der Unterschied zwischen den Dekompresanderen Charakter besitzt als bei langen Zeiten. Einen Hinweis Tauchvorgängen (Sättigung). kompression und den linearen Dekompressionen bei extrem langen langen Dekompressionszeiten zu beachtlicher Größe entwickeln beiden Forderungen, daß überhaupt keine Gasblasen auftreten fortlaufend langsamerer De-

# 4. Vorschlag zur Vereinheitlichung der erlaubten Gasspannungen

Im Bereich der beim Tauchen üblichen Werte für Zeiten und Tauchtiefe liegen sichere Werte für die erlaubten Gasspannungen M im Gewebe vor (s. Bild 1 und 2). Bei der Extrapolation dieser Werte auf den Bereich des Sättigungstauchens in großen Tiefen

entstehen unzulässig hohe Werte. Wir wollen versuchen, auf der Grundlage der bisherigen Überlegungen einheitliche Gasspannungs-werte vorzuschlagen, die sowohl im Bereich des Üblichen Tauchens als auch beim Sättigungstauchen anwendbar sind.

art, Tauchtiefe und Halbwertszeit. gen Halbwertszeiten eine feste überspannung, unabhängig von Gaswürde. Für unseren Vorschlag wählen wir daher im Bereich der laner sich bei einer Extrapolation der Daten von WORKMAN ergeben doch sicherlich nicht bis zu beliebigen Tauchtiefen zulässig, wie sind auch die Überspannungen von WORKMAN bei den langen Halbwertsmit der Tauchtiefe an (Bild 3). Dieser lineare Anstieg ist jelium (Bild 4). Bei Stickstoff steigen die Überspannungen schwach zeiten unabhängig von der Halbwertszeit (s. Bild 3 und 4). Die erschen Überspannungen zur Entstehung der Gasblase. Tatsächlich wartete Unabhängigkeit vom äußeren Druck zeigt sich nur für He-Halbwertszeiten müssen wir also interpretieren als die kritischen Prinzip entwickelten zulässigen Überspannungen bei langen webes und damit von der Halbwertszeit ab. Die nach dem Haldane-Gewebseigenschaft und hängt nicht von der Durchblutung des Geblase nicht erreicht werden darf. Diese Überspannung ist eine verlangt, daß die kritische Überspannung zur Bildung einer Gasschwerdelosen Gasblase in Anwendung auf lange Halbwertszeiten Wir haben im vorigen Abschnitt gesehen, daß das Prinzip der be-

Diese überlegungen gelten für den Bereich der langen Halbwertszeiten. In dem Bereich der kurzen Halbwertszeiten müssen wir die erlaubten überspannungen des Haldaneschen Prinzips folgendermaßen interpretieren: Die kritschen überspannungswerte zur Bildung einer Gasblase werden überschritten, es bildet sich eine Gasblase, die sich später aber wieder abbaut. Ihre maximale Größe liegt aber noch im Bereich der Beschwerdefreiheit. Da bei einer fortlaufend langsameren Dekompression in den Geweben mit kurzer Halbwertszeit die Überspannungen auch nur sehr kurze Zeit vorliegen, können hier beachtlich hohe Überspannungen zugelassen werden. Ähnlich wie bei den langen Halbwertszeiten können wir auch hier nicht den von WORKMAN vorgeschlagenen linearen Anstieg der Überspannung mit der Tauchtiefe bis zu beliebiger

Tauchtiefe zulassen. In unserem Vorschlag steigen daher die Überspannungen nur für niedrigere Tauchtiefen linear an; anschließend wird dieser Anstieg in einem bestimmten Bereich der Tauchtiefe zwischen  $D_{\bf a}$  und  $D_{\bf b}$  auf Null abgebaut. Anstelle von G1.(5) tritt dann die Gleichung

$$(6) = M_{\bullet}(T_{H}) + \Delta M(T_{H}) \cdot D/10 \qquad \text{für } D \leq D_{a}(T_{H}).$$

$$M(T_{H}, D) = M_{\bullet}(T_{H}) + \Delta M(T_{H}) \cdot D/10 - \qquad \text{für } D_{a}(T_{H}) \leq D \leq D_{b}(T_{H}).$$

$$-(\Delta M(T_{H}) - 10)(D - D_{a}(T_{H}))/(20 \cdot (D_{b}(T_{H}) - D_{a}(T_{H})))$$

$$= M(T_{H}, D_{b}(T_{H})) + D - D_{b}(T_{H}) \qquad \text{für } D_{b}(T_{H}) \leq D.$$

Dies führt zu den Werten der Tabelle 4 für Stickstoff, die den von uns berechneten Ausschleusungstabellen für das Arbeiten unter Druckluft zugrunde liegt (s. Anhang 1).

10 10 20 40 120 160 240 240 240 480	τ <sub>н</sub> [min]
~~~~~~~~~~~~~~~~~~~~~~~~~~~~~~~~~~~~~~	[m] O <sub>M</sub>
10 555555555555555555555555555555555555	[ft]
18 16 17 10 10 10 10	Δ M [m/10 m]
ת ל ל ל ל ל ל ל ל ל ל ל ל ל ל ל ל ל ל ל	Д [m]
	[m]
	l

Tabelle 4 Erlaubte N<sub>2</sub>-Spannung M im Gewebe Gl.(6) nach unserem Vorschlag. Bei den M<sub>0</sub>-Werten wurde die N<sub>2</sub>-Spannungs-differenz von 30 Torr = 0,39 m zwischen Atemgas und Gewebe vernachlässigt. (Bei ΔM = 10 m/10 m erübrigt sich die Angabe von D<sub>a</sub> und D<sub>b</sub>).

Bei Einführung der Compartments von SCHREINER haben wir die Möglichkeit, diese Überlegungen auch auf Gemischatmung anzuwenden. Als erstes rechnen wir die Mo- und AM-Werte von WORKMAN durch Interpolation auf die Compartments von SCHREINER um (s. Bild 5 und 6 und Tabelle 5). Auf dieser Grundlage erhielten wir unter Berücksichtigung der Überlegungen, die zu unserem Vorschlag der Tabelle 4 führten, und durch Analyse des empirischen Materials über Dekompressionen (s. Anhang 2 und 3) einen für beliebige Stickstoff-Heliumgemische einheitlichen Vorschlag für erlaubte Gesamtgasspannungen (s. Tabelle 6).

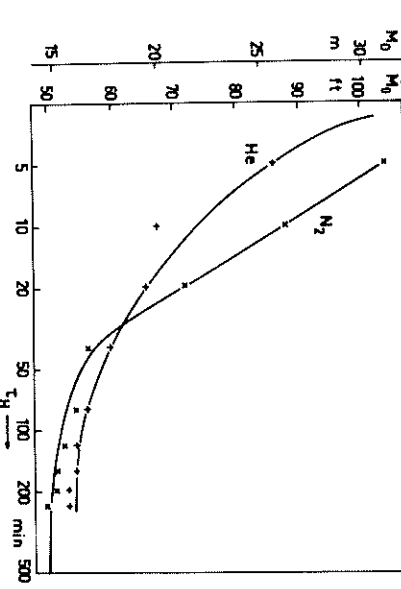
Wir haben die Halbwertszeit eines Compartments als nicht veränderliche Größe betrachtet. Tatsächlich treten jedoch beim Tauchen aus verschiedenen Gründen, z.B. O2-Atmung, Arbeit etc., Ereignisse auf, die die Durchblutung und damit die Halbwertszeiten ändern. Man könnte jetzt in einem weiteren Schritt versuchen, diese Veränderungen der Halbwertszeiten bei der Berechnung der Gasspannungen zu berücksichtigen. Andererseits stellen jedoch die erlaubten Gasspannungen nur empirische Werte zur Verhinderung der die Druckfallbeschwerden erzeugenden Gasblasen dar. Wir werden daher unsere weiteren Bemühungen auf die Berechnung der Gasblasen konzentrieren.

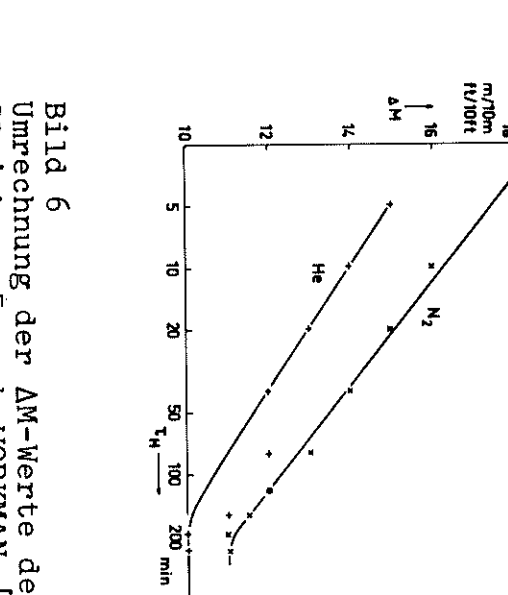
### . Berechnung der Gasblase

1 10 ASS

 $\Box$ 

der einzelnen Parameter gibt eine Möglichkeit, die vorgeschla-Hinblick auf eine zukünftige Konstruktion optimaler Tauchtabelder Berechnung einer Gasblase geschildert, und zwar einmal im nicht genügend bekannt sind. Im folgenden werden die Grundlagen nicht möglich, da die in die Theorie eingehenden Parameter noch beschwerdelosen Größe wachsen können. Könnte man die Größe der Dekompression im Organismus nur Gasblasen bis zu einer bestimmten, schaften die Größe tabellen konstruieren. Diese Berechnung ist jetzt jedoch noch Teilen des Organismus berechnen, so ließen sich optimale Tauch-Gasblase Prinzip der beschwerdelosen Gasblase fordert, daß bei einer zum anderen um darzulegen, wie die einzelnen Gewebseigen-Gasspannungswerte in Abhängigkeit von der Dekompression in den einzelnen der Gasblase bestimmen. kritisch zu diskutieren. Gerade dieser Einfluß





g

Umrechnung der M -Werte der Umrechnung 5 nach WORKMAN [8] auf die Compartments von SCHREI-NER [9]; bei den M -Werten ist die Spannungsdifferenz des Inertgases von 30 Torr = 0,39 m zwischen Atemgas und Gewebe vernachlässigt.

Bild 6
Umrechnung der AM-Werte der Gleichung 5 nach WORKMAN [8] auf die Compartments von SCHREINER [9].

		2			He	
	T <sub>H</sub>	o <sup>™</sup> ∧	ΔM	T <sub>H</sub>	o	ΔM
ompartment	[min]	[m]	[m/10 m]	[min]	[m]	[m/10 m]
υn	o Uī		67	WW	00	S S
E ∪ 1	12	24,7 28,7	15,9 16,9	7 =	27,3	14°,4
. וטית	15 27	$\infty$ $\mathcal{M}$	÷ 5	10	ŠÃ	* <del>*</del> +
7	35	~ ;	<u>,</u>	12	, <u>, , ,</u>	, M
o oc.	7 2 Z	20	שַׁלָּי.	283	ထိက	$^{\circ}$
10	80	S	S	34	4 œ	າ ໃນ
7 1 1	118 81	<u>ي</u> ن	50	81	<u>.</u>	<u>}</u>
13	$\sim$	=	4	S	9	Ô
14	315	<u>+</u> =	خسل ما	122	ľΩ	) C
15		4	1	1.4	O	

Tabelle 5 Erlaubte Spannungen M der Gase N2, He (G1.5), umgerechnet aus den Daten von WORKMAN [8] (s. Täbelle 2) auf die Compartments von SCHREINER [9] (s. Tabelle 3).

CAR.

111111 00 40 40 40 11 111111	Compart- ment
600 600 600 600	т <sub>н</sub> <sup>N</sup> 2
200 11 200 200 200 200 200 200 200 200 2	[min] He
11100000000000000000000000000000000000	[m]
11111111111111111111111111111111111111	ΔM [m/10 m]
	D a [m]
	D <sub>D</sub>

Tabelle 6 Erlaubte Gesamtspannungen M von beliebigen  $\rm N_2$ -He-Gemischen (Gl.6) für die Compartments 1 - 16. (Bei  $\Delta M$  = 10 m/10 m erübrigt sich die Angabe von  $\rm D_a$  und  $\rm D_b$ ).

### 5.1 Grundlagen

Die Prinzipien unserer Theorie haben wir in unserer Arbeit [5] dargestellt. Im Hinblick auf die spätere Berechnung wollen wir sie noch einmal kurz aufzählen und, soweit erforderlich, ergänzen. Hierbei bringen wir diejenigen Ausführungen in Kleindruck, die zwar für die Berechnung notwendig, aber für das Verständnis entbehrlich sind.

# 5.1.1 Gasblasen als Ursachen der Druckfallbeschwerden

Gasblasen, die in den Arterien und im Gewebe entstehen, können Bends hervorrufen. Sie können aber auch im Bereich des Zentralnervensystems schmerzlose Störungen verursachen. Gasblasen, die in den Venen entstehen, werden in die Lungen verschleppt und lösen dort Chokes aus. Alle diese Wirkungen der Gasblasen können

von den Betroffenen unmittelbar registriert werden. Die Beschwerden sind meist reversibel und verschwinden dann nach entsprechend langer Zeit und entsprechender Behandlung. Hinzu können irreversible, d.h. bleibende Veränderungen im Organismus kommen, wie z.B. Knochennekrosen mit anschließender Verkalkung, die noch nach Jahrzehnten nachweisbar sind. Unsere Untersuchung befaßt sich mit den Gasblasen im Gewebe und so mit den Entstehungsursachen der Bends.

### 5.1.2 Druckbilanz der Gasblase

Auf eine Gasblase im Gewebe wirken der äußere Druck des Atemgases, der hydrostatische Druck +) im Organismus, der elastische Druck des Gewebes und die Oberflächenspannung. Die Gasblasen besitzen eine ungefähr kugelförmige Gestalt. Für eine Gasblase gilt die stationäre Druckbilanz, nach der die Gesamtgasspannung in der Blase gleich ist der Summe der auf die Blase wirkenden Druckanteile.

#### .1.3 Gaskeime

The modern

Für die Bildung von Gaskeimen im Organismus wurden verschiedene und kann unter Umständen zu einem Zug auf die Gasblase führen. oder in Ecken; die Oberflächenspannung wird dadurch vermindert bestimmten Überspannung im handener Gaskeim wird im allgemeinen langsam abgebaut. Bei einer Prozesse vorgeschlagen. Nach HARVEY Gaskeim eine gewöhnliche, ungefähr kehrt wird sich eine Gasblase unterhalb eines bestimmten Voluspannung Gaskeimen rechnen. gibt noch eine zweite, submikroskopische Existenzform der zu einem Gaskeim zurückbilden. den sogenannten Gaskeim. Der im Gewebe etwas unter dem Unter Normalbedingungen liegt die Gesamtgasumgebenden Gewebe bildet sich aus dem kugelförmige Gasblase. Umge-Druck des Atemgases, ein vor-Gaskeim haftet an Wänden [10] müssen wir im Gewebe mit

SALE.

<sup>+)</sup> Dieser hydrostatische Druck erfaßt nur Anteile innerhalb des Organismus. Der Druck der auf dem Taucher lastenden Wassersäule ist schon im Druck des Atemgases berücksichtigt.

In unserer Arbeit [5] unterscheiden wir ein Modellgewebe mit Gaskeimen, die sich bei einer bestimmten Überspannung momentan zu Gasblasen entwickeln. Tatsächlich wird man eine von der Gewebsart abhängige Wahrscheinlichkeit dafür angeben können, daß in einem bestimmten Gewebsvolumen eine Gasblase existiert oder in einer bestimmten Zeiteinheit neu gebildet wird. Unser Modell erfaßt also alle Gewebe mit einer großen Wahrscheinlichkeit für die Existenz von Gaskeimen und vernachlässigt alle Gewebe mit einer geringen Wahrscheinlichkeit da-

## 5.1.4 Gastransport im Organismus

Die Spannungen der Gase  $\rm O_2$  und  $\rm CO_2$  im Organismus stellen sich unmittelbar auf die Spannungen im Atemgas und auf die Belastung ein. Die Spannungen der Inertgase ( $\rm N_2$ , He usw.) in den Alveolen (alv) stellen sich ebenfalls unmittelbar auf die Atemgasspannung und die Belastung ein.

Wir wollen die letzte Annahme überprüfen. Sehen wir uns zuerst die Einstellung der neuen Spannungswerte in der Lunge an, wobei wir die Einstellung im Gewebe vernachlässigen. Hierbei wollen wir nicht im einzelnen den Übergang zu den neuen Werten berechnen, sondern nur Anfangs- und Endsituation betrachten. Unmittelbar nach einer Druckerniedrigung haben wir noch dieselbe Gaszusammensetzung in den Alveolen wie vorher, nur mit dem neuen Gesamtdruck. Nach Ablauf von einigen Zeitkonstanten der Lunge in der Größenordnung von 1 min werden sich in den Alveolen die neuen Spannungswerte mit einer veränderten Gaszusammensetzung eingestellt haben. Dabei ändert sich die Gaszusammensetzung, da der Verbrauch an O<sub>2</sub>, die Abgabe von CO<sub>2</sub> und die H<sub>2</sub>O-Spannung konstant bleiben und sich nicht proportional zum äußeren Druck ändern. Unmittelbar nach einem plötzlichen Drucksturz liegen zwar noch nicht die neuen Spannungen in der Lunge vor, jedoch sind die Abweichungen hiervon vernachlässigbar.

Es ist noch zu untersuchen, inwieweit die Einstellung der neuen Spannungen im Gewebe die Einstellung der Spannung in der Lunge stört. Aus Arbeit [3] wissen wir, daß die Lunge bei einer Spannungsdifferenz von 760 mm Hg eine Gasmenge von ungefähr 5 000 ccm<sub>NTP</sub>/min fördert,

wobei der Kreislauf bei der gleichen treibenden Spannungsdifferenz nur ungefähr 1,4% dieser Menge transportiert. Umgekehrt können wir auch sagen, wenn die gleiche Menge transportiert wird, so liegt über der Lunge nur 1,4% der Spannungsdifferenz von der über dem Kreislauf. Diesen geringen Wert können wir vernachlässigen. Wird z.B. ein Überschuß von 4 atm aus dem Gewebe abtransportiert, so liegt über der Lunge 1,4% dieses Wertes, das sind ungefähr 40 mm Hg.

Für den Transport Gewebe – Außenraum eines Inertgases nehmen wir ein kontinuierliches Spektrum von einzelnen Geweben mit unterschiedlichen Halbwertszeiten  $\mathbb{T}_H$  zwischen Null und Unendlich an. Diese einzelnen Gewebe sind natürlich mit unterschiedlichen Volumina vertreten. Wir spalten daher die gesamte Kapazität  $\mathbb{C}_{\text{tis}}$  des Gewebes für die Speicherung von gelöstem Gas auf in die Beiträge  $c(\mathbb{T}_H)$  der einzelnen Gewebe. Eine Summation über die einzelnen Beiträge muß natürlich wieder die gesamte Speicherkapazität ergeben:

el Congression

(7) 
$$C_{tis} = \int_{C} c (T_H) dT_H$$

Wir wenden diese überlegung an auf die Elimination einer Gasart aus dem Gewebe. Hierbei nehmen die Spannungen p<sub>tis</sub> in den einzelnen Geweben von einem gemeinsamen Anfangswert p<sub>tis</sub> (t<sub>o</sub>) mit der Zeit t unterschiedlich schnell auf Null ab:

(8) 
$$p_{tis}(t) = p_{tis}(t_{\bullet}) \cdot 2^{-(t-t_{\bullet})/T} H$$

Die einzelnen Gewebe geben Gas ab. Insgesamt wird je Zeiteinheit die Gasmenge i eliminiert:

(9) 
$$i = -\int_{\Gamma}^{\infty} c(\tau_H) \frac{dp_{tis}}{dt} d\tau_H = \ln 2 \int_{\Gamma}^{\infty} c(\tau_H) \frac{p_{tis}}{\tau_H} d\tau_H.$$

Diese abtransportierte Gasmenge i in Abhängigkeit von der Zeit t läst sich experimentell ermitteln und daraus mit Hilfe der Umkehrung von Gl.(9) die auf die Halbwertszeit bezogene Speicherkapazität  $c(\mathbb{T}_H)$  bestimmen.

Für unsere Anwendung nehmen wir für den Transport Gewebe - Atemgas eines Inertgases einige repräsentative Gewebe (Compartments) mit unterschiedlichen Halbwertszeiten an.

einer Gasart berechnet sich die Gewebsspannung pex als Funktion der Bei einer beliebigen zeitlichen Änderung der Alveolarspannung palv Zeit zu (s. Gl.(18) der Arbeit [5]).

(10) 
$$p_{tis}(t) = 2^{-(t-t_{\bullet})/T_{H}} \frac{\ln 2}{T_{H}} \int_{0}^{2} \frac{\int_{0}^{t(\bar{t}-t_{\bullet})/T_{H}} p_{alv}(\bar{t}) d\bar{t} + p_{tis}(t_{\bullet})}{\int_{0}^{2} \frac{1}{t_{\bullet}}} \int_{0}^{2} \frac{(t-t_{\bullet})/T_{H}}{t_{\bullet}} p_{alv}(\bar{t}) d\bar{t} + p_{tis}(t_{\bullet}) \frac{1}{2}$$

Ptis(t<sub>o</sub>): Gewebsspannung zu Beginn (Zeitpunkt t<sub>o</sub>) der betrachteten Zeitspanne.

## 5.1.5 Gastransport in eine Blase

umgebenden Gewebes vor, die wir mit ihren Normalwerten ansetzen. In einer Blase (bl) liegen die Gasspannungen von  $0_2$ ,  $0_2$  und  $0_2$ 0 des

R berechnen: Spannungsdifferenz  $(p_{tis}-p_{bl})$  und einem radiusabhängigen Widerstand Wir können den Strom i bl aus dem Gewebe in die Blase hinein aus der

$$(11) \qquad i_{b1} = \frac{P_{iis} P_{b1}}{R}$$

Die Blase selbst besitzt eine Speicherkapazität:

(12) 
$$C_{bl} = \frac{4\pi r_{bl}^3}{3RT} = \frac{V_{bl}}{RT}$$

R: Gaskonstante,
T: absolute Temperatur

Die Größen V<sub>bl</sub>, r<sub>bl</sub> bedeuten Volumen und Radius der Blase.

 $\mathrm{dp_{bl}}/\mathrm{dt}$  oder zu einer Volumen- bzw. Kapazitätsänderung d $\mathrm{c_{bl}}/\mathrm{dt}$ : Ein Gasstrom in die Blase hinein führt zu einer Spannungsänderung

(13) 
$$i_{bi} = C_{bi} dP_{bi}/dt + P_{bi} dC_{bi}/dt$$
.

so wird R umgekehrt proportional zur Oberfläche Abl durchtritt durch die Oberfläche der Blase der dominierende Mechanismus, den Widerstand R eine unterschiedliche Gesetzmäßigkeit. Ist der Gas-Abhängig von der Art des dominierenden Transportmechanismus gilt für

(14) 
$$1/R = const \cdot 4 \pi r_{bl}^2 = const \cdot A_{bl}$$
,

wobei die Konstante von der Beschaffenheit des Gewebes und von der

Gasart bestimmt wird und mit der Permeabilität der Oberfläche wächst.

nismus müssen wir unterscheiden, ob die Diffusionsschicht bis ins Unendliche reicht oder eine konstante Dicke d besitzt. Im ersten Fall Bei der Diffusion in der Umgebung der haben wir Blase als dominierendem Mecha-

(15) 
$$1/R = D_{tis} k_{tis} 4 \pi r_{bl}^2 / d$$
,

im zweiten Fall

(16) 
$$1/R = D_{tis} k_{tis} 4 \pi r_{bl}$$
,

D<sub>tis</sub>: Diffusionskoeffizient, k<sub>tis</sub>: Löslichkeitskoeffizient.

STORY CONTRACT

schiedlichen Gesetzmäßigkeiten Radius, so liefern die Gleichungen (1 Beachten wir vorerst nur die Abhängigkeit des Widerstandes R vom 14) bis (16) die beiden unter-

(17a) 
$$1/R = const \cdot \Gamma_{b1}$$
,

(17b) 
$$1/R = const \cdot A_{bi}$$
.

noch von Gas- und Gewebsart ab. Für die Diffusionsschicht auf eine dünne Grenzschicht reduziert. Dagegen und damit für Gl. (17b) spricht, daß für den Transport Gewebe - Blase. Die Proportionalitätskonstante hängt Die beiden Gleichungen beschreiben die von uns verwendeten Modelle dem Radius. Als einfachste Annahme kann man die Schichtdicke proporzusammengedrückt werden. Dieser zusammengedrückte Bereich wächst mit kann man jedoch angeben, daß die Kapillaren in der Umgebung der Blase einen Spannungsausgleich in der Umgebung der Blase sorgt und damit Theorie der stationären Diffusion aus dem Unendlichen in die Blase tional zum Radius annehmen. Das gleiche Ergebnis bringt auch eine das engwaschige Kapillarnetz für eine konstante Diffusionsschicht

sein beim Transport Gewebe - Alveole. Dies ist natürlich nicht der Fall, wenn Gaskeime das Gewebe dicht durchsetzen und bei einer Erniedrigung Die Entleerung des Gewebes in die Blase hinein soll vernächlässigbar der Spannung des Atemgases die gesamte überschüssige Gasmenge aufneh-

men. Es dürfen nur vereinzelt Gaskeime vorhanden sein, die sich weder gegenseitig noch den Abtransport aus dem Gewebe beeinflussen.

Ein Gewebe besitzt eine bestimmte Empfindlichkeit, die wir durch die maximale Größe einer beschwerdelosen Gasblase kennzeichnen.

### 5.1.6 Modell für die Gasblase

Die unter 5.1.1 bis 5.1.5 aufgeführten Punkte definieren unser Modell für die Berechnung von Gasblasen. Bei der Anwendung auf einen Einzelfall müssen wir beachten, daß die physiologischen Daten individuelle Streuungen zeigen können. Insbesondere können das Auftreten von Gaskeimen, der Übergang Gaskeim - Gasblase und die Empfindlichkeit des Gewebes noch individuellen Schwankungen unterworfen sein. In unserem Modell verwenden wir für alle oben angegebenen Eigenschaften Mittelwerte.

Die maximale Größe einer beschwerdelosen Gasblase läßt sich aus einer Analyse der sicheren Tauchtabellen gewinnen. Die so berechneten Werte enthalten noch einen Sicherheitsfaktor. Bei einem Überschreiten dieser berechneten Gasblasengröße sind mit zunehmender Wahrscheinlichkeit Beschwerden zu erwarten, die im Einzelfall früher oder später auftreten.

# 5.2 Grundgleichung für das Blasenwachstum

1029

### 5.2.1 Herleitung

In der Arbeit [5] haben wir eine Gleichung für die Bildung von Gasblasen hergeleitet, die wir auf einen einstufigen Drucksturz anwendeten. Wir wollen diese Gleichung für eine beliebige kontinuierliche oder mehrstufige Dekompression umschreiben.

Wiederum setzen wir voraus, daß das Atemgas aus einem Inertgas X und aus Sauerstoff bestehe. Wir drücken die zeitabhängigen Spannungen dieser beiden Gase durch den Druck Pax des Atemgases aus

(18) 
$$P_{ex} = (1 - \varepsilon) P_{ex}$$

 $(19) \quad P_{exO_2} = E P_{ex}.$ 

Hierbei bedeutet E den Sauerstoffanteil des Atemgases.

Wie in der Arbeit [5] verwenden wir folgende Werte für die einzelnen Gasspannungen. Das Gas X besitzt über der Lunge eine Spannungsdifferenz von 30 mm Hg:

(20) 
$$p_{ex} - p_{aiv} = 30 \text{ mm Hg}$$
.

Die Gase 0<sub>2</sub>, CO<sub>2</sub> und H<sub>2</sub>O tragen in der Blase mit 130 mm Hg zur Gesamt-gasspannung bei. Der elastische Druck des Gewebes, die Oberflächenspannung und der hydrostatische Druck (s. Fußnote S. 21) wirken mit 50 mm Hg auf die Blase.

AND SHAPE OF SEC.

Mit diesen Daten vereinfacht sich die Druckbilanz der Blase zu

(21) 
$$P_{bl} = P_{ex} + 50 \text{ mm Hg}$$

$$P_{bl} + 130 \text{ mm Hg} = P_{ex} + 50 \text{ mm Hg}$$

$$P_{bl} = P_{ex} - 80 \text{ mm Hg}$$

Pbl: Gesamtgasspannung in der Blase, pbl: Spannung des Gases X in der Blase.

Der einfacheren Schreibweise wegen werden wir in den folgenden Gleichungen anstelle des Druckes  $P_{ex}$  des Atemgases die um 80 mm Hg niedrigere Spannung  $p_{b1}$  des Gases X in der Blase verwenden. Eine Kombination der Gleichungen (18) bis (21) ergibt

(22) 
$$p_{giv} = (1 - \mathcal{E}) p_{bl} + 50 \text{ mm Hg} - \mathcal{E} \cdot 80 \text{ mm Hg}$$
.

Aus dieser Spannung des Gases X in der Alveole können wir mit Hilfe von Gl. (10) die Spannung im Gewebe berechnen zu

(23) 
$$p_{tis}(t) = 2^{-(t-t_o)/T_H} \frac{\ln 2}{T_H} \int_{t_o}^{t} 2^{(\bar{t}-t_o)/T_H} \times \left[ (1-\epsilon) p_{bl} + 50 \text{ mm Hg} - \epsilon \cdot 80 \text{ mm Hg} \right] d\bar{t} + p_{tis}(t_o) 2^{-(t-t_o)/T_H}$$

r<sub>bl</sub> der Blase tialgleichung für das Wachstum der Oberfläche Abl bzw. des Radius Aus den Gleichungen (11)-(13), (15), (16) finden wir eine Differen-

(24a) 
$$\frac{dA_{b1}}{dt} = \beta_a \frac{P_{tis} - P_{b1}}{P_{b1}} - \frac{2}{3} \frac{A_{b1}}{P_{b1}} \frac{dP_{b1}}{dt}$$

(25a) 
$$\beta_a = 8 \pi D_{tis} k_{tis} RT$$
,

(25b) 
$$\beta_b = D_{tis} k_{tis} RT/d$$
.

Damit gehen wir dann in Gl. (24) für das Blasenwachstum ein. punkt für jedes Gewebe die Gasspannung p<sub>tis</sub> des Gases X berechnen. E vorgegeben. Mit Hilfe von Gl. (23) können wir dann in jedem Zeit-Funktion der Zeit und durch einen zeitabhängigen Sauerstoffanteil biger Druckverlauf des Atemgases sei durch P oder aber pbl als Damit stellt sich also die Situation folgendermaßen dar. Ein belie-

niedrigung des Druckes des Atemgases, wobei die Menge des Gases in zweite Summand beschreibt die Vergrößerung der Blase bei einer Erder Blase konstant bleibt. hinein, wodurch sich die Menge des Gases X in der Blase erhöht. Der In Gl. (24) haben wir zwei Beiträge zum Blasenwachstum. Der erste Summand auf der rechten Seite beschreibt den Transport in die Blase

wir vernachlässigen. Die als Differenz der Gesamtspannungen ausgepositiv und bei Überschreitung einer genügend großen Überspannung schnellen Dekompression wird die rechte Seite der Gleichung (24) tenden Differenz (ptis-pbl) der Spannungen des Gases X. drückte Überspannung (Ptis-Pb1) ist aber gleich der in Gl. (24) auftre-(Ptis-Pbl) bildet sich dann eine Gasblase aus, deren Anfangsgröße baut, eine Blasenbildung ist nicht möglich. Erst bei einer genügend rechte Seite von Gl. (24) negativ, eine vorhandene Blase wird abge-Unter Normalbedingungen und bei einer langsamen Dekompression ist die

> des ersten Summanden können wir die Zur weiteren Auswertung der Gleichung (24) wollen wir zuerst den Beiten trag des zweiten Summanden allein untersuchen. Bei Vernachlässigung Gleichung integrieren und erhal-

(26a) 
$$A_{bl} \sim p_{bl}^{-2/3}$$

(26b) 
$$r_{bl} \sim p_{bl}^{-1/3}$$

Dieses ist aber genau die Aussage d es idealen Gasgesetzes

(27) 
$$V_{bl} p_{bl} = const$$

für eine konstante Menge des Gases X in der Blase.

Zur Berücksichtigung auch des ersten Summanden in Gl. (24) machen wir den Lösungsansatz:

and Carpenter of

(28a) 
$$A_{b1} = P_{b1}^{-2/3} g_a(t)$$

(28b) 
$$f_{bl} = p_{bl}^{-1/3} g_{b}(t)$$

gleichung und erhalten für die noch unbekannte Funktion g die Differential-

(29a) 
$$\frac{dg_a}{dt} = \beta_a \frac{p_{1s} - p_1}{p_{11/3}}$$

(29b) 
$$\frac{dg_b}{dt} = \beta_b \frac{p_{tis} - p_{bl}}{p_{bl}^{2/3}}.$$

g. Sie beschreibt die Oberfläche bzw. den Radius der auf den Normal-Anderung des Druckes des Atemgases druck p<sub>bl</sub> = 1 umgerechneten Gasblase und ist damit bei konstanter Eine Integration vom Anfang to der dann aus g die Grundgleichung für das Wachstum der Blase. bleibt die Größe g konstant. Erst ein Transport in die Blase hinein ändert die Gasmenge und damit die Größe g. Mit Gl.(28) finden wir Temperatur allein eine Funktion der und damit der Gasspannung Pb1 Blasenbildung liefert die Funktion Gasmenge, Bei einer plötzlichen

(30a) 
$$A_{bi}(t) = \frac{8\pi D_{tis} k_{tis} RT}{P_{bi}^{2/3}} \int_{t}^{t} \frac{P_{tis} - P_{bi}}{P_{bi}^{1/3}} d\bar{t}$$
,

(30b) 
$$r_{bl}(t) = \frac{D_{tis} k_{tis} RT}{dp_{bl}^{1/3}} \int_{t}^{t} \frac{P_{tis} P_{bl}}{p_{bl}^{2/3}} d\bar{t}$$
.

2/1/10

Die anfängliche Größe der Gasblase zum Zeitpunkt to konnte vernachlässigt werden.

### 5.2.2 Diskussion

Wir wollen jetzt die einzelnen Beiträge diskutieren, die nach Gl.(30) zum Wachstum der Blase beitragen. Im Integral tritt im Zähler die treibende Spannung (p<sub>tis</sub>-p<sub>bl</sub>), die wir praktisch gleich der Überspannung (p<sub>tis</sub>-P<sub>ex</sub>) sehen können (s. Gl.(21)):

 $(31) (p_{tis}-p_{bl}) \approx (p_{tis}-P_{ex}).$ 

Durch die Integration wird summiert über diese Überspannung, dividiert durch eine Potenz der Spannung  $\mathbf{p}_{b1}$  bzw. des äußeren Druckes  $\mathbf{P}_{ex}$ .

Multiplizieren wir dieses Integral mit  $\beta$  (s. G1.(25)), so erhalten wir bis einen konstanten Faktor die Gasmenge in der Blase. Betrachten wir zunächst das Produkt  $D_{tis}$   $^{*}k_{tis}$  in der Größe  $\beta$  für die beiden Gase Helium und Stickstoff. Helium besitzt den größeren Diffusionskoeffizienten  $D_{tis}$  und die kleinere Löslich-keit  $k_{tis}$ . Da das Produkt dieser beiden Koeffizienten in der Formel für die Blasengröße auftritt, werden gleiche Spannungen zu ungefähr gleicher Blasengröße führen. Wir können daher bei Stickstoff-Helium-Gemischen beide Gase im Gewebe wie ein einheitliches Gas betrachten, das mit der Gesamtüberspannung ( $P_{tis}-P_{b1}$ ) anstelle von ( $P_{tis}-P_{b1}$ ) in Gl.(24) in die Blase transportiert wird. Der Druckfaktor vor dem Integral rechnet die Gasmenge in eine Blasengröße um, hierdurch wird z.B. der Einfluß einer Rekompression auf schon gebildete Blasen verständlich.

### · Zusammenfassung

HALDANE [6] begründete eine empirische Methode zur Berechnung von beschwerdelosen Dekompressions-Schemata. Hiernach vergleicht man in den einzelnen Geweben, charakterisiert durch ihre Halb-wertszeiten, die vorliegenden Gasspannungen mit bestimmten erlaubten Werten. Wir wissen jedoch, daß nicht die Gasspannungen an sich, sondern Gasblasen im Organismus die Druckfallbeschwerden hervorrufen. Vom Standpunkt der Gasblasenbildung lassen sich aus

dem empirischen Material folgende Schlüsse ziehen. Bei Dekompressionen nach kurzzeitigen Tauchgängen bilden sich im Organismus vorübergehende beschwerdelose Gasblasen, die in kurzer Zeit
wieder abgebaut werden. Bei Dekompressionen nach langem Aufenthalt werden die zur Gasblasenbildung erforderlichen Überspannungen nicht erreicht.

haben wir das Sättigungsverhalten des Gewebes durch die Einfühberücksichtigt, wie er durch eine Vermaschung der Kapillaren sätzliches 600-Minuten-Gewebe eingeführt haben. Auf diesem Wege rung von Compartments erfaßt, wobei wir für Stickstoff ein zuder Tiefe nur bis zu einer bestimmten Grenze. Wie SCHREINER [9] in unserem Vorschlag die erlaubten Überspannungen mit zunehmenleiten. Im Gegensatz zu dem Vorschla gasspannungen entwickelt. Hieraus lassen sich für beliebige Auf dieser Grundlage haben wir einen speziellen Transportmechanismus Außenraum-Gewebe. rechnung der Gasspannungen im Gewebe zustande kommt. Durch Einführung der haben wir einen unvollständigen Gasaustausch Gewebe-Kapillaren Tauchgänge in He/O,-Gemischen beschwerdelose Dekompressionen abg von WORKMAN [8] wachsen Satz von zulässigen Gesamtunabhängig geworden vom Compartments ist die Be-

Die Grundgleichungen für das Wachstum einer Gasblase werden hergeleitet. Es ergibt sich angenähert, daß in einem Helium-Stickstoff-Gemisch die Gesamtgasspannung das Blasenwachstum bestimmt. Hierdurch wird die Verwendung der Gesamtgasspannung im Gewebe als kontrollierende Größe in unserem Vorschlag bestätigt.

Wir haben die Halbwertszeit eines Compartments als zeitliche konstante Größe betrachtet. Änderungen des Kreislaufs,wie z.B. durch den Tag/Nachtrhythmus, durch Sauerstoffatmung oder andere Faktoren wurden vernachlässigt. In einer detaillierteren Theorie könnten diese Einflüsse durch Einführung zeitabhängiger Halbwertszeiten berücksichtigt werden.

Als Erweiterung unserer Arbeit müßte man versuchen, über das Blasenwachstum Dekompressions-Schemata für kurze Tauchgänge zu berechnen. Dies könnte eine Bestätigung der von uns geforderten Existenz beschwerdeloser Gasblasen bringen. Ein weiteres, noch

1100

angenommen, wie es die Tabelle 6 für lange Halbwertszeiten gründen wurde der zur offenes Blasenbildung notwendigen Überspannung. Aus Sicherheits-Problem ist bei langen Tauchgängen die Druckabhängigkeit in unserem Vorschlag diese Überspannung konstant

die Zusammenstellung der von uns analysierten Tauchgänge Herrn Dr.med. A. LOW und Herrn Dr.med. H. OSER danken wir für

Mathematik und Datenverarbeitung e.V., Birlinghoven, ausgeführt. Die Rechnungen wurden auf der IBM 7090/1410 der Gesellschaft für bedanken uns für die Überlassung von Rechenzeit

53 Bonn-Bad Godesberg, Kölner Str. Prof. Dr.med.habil. Siegfried RUFF 70

53 Bonn, Wegelerstr. 10 Physikalisches Institut Prof. Dr.rer.nat. Karl Gerhard MÜLLER der Universität Bonn

#### Schrifttum

- [1] FUST, H.D. HARTMANN, H.
- 2
  - VDI-Nachrichten 16 (1964). Lengede war Neuland für Arzt und Ingenieur.
- [3] HARTMANN, H. FUST, H.D. MÜLLER, K.G. RUFF, S.
- Int. Z. angew. Physiol. einschl. Arbeitsphysiol. 20 (1964), S.337-355. Beschreibung und Berechnung physiologischer Transportvorgänge.

Dräger-Heft Nr.265 (1966), S.2-18.

Langzeit-Druckkammer-Versuche im Bereich von 4-23 ata.

- MÜLLER, K.G. RUFF, S.
- Gasblasenbildung im Organismus beim Druckfall. Int. Z. angew. Physiol. einschl. Arbeitsphysiol. 20 (1965), S.521-544.
- [5] RUFF, S. MÜLLER, K.G.

the mission

- Theorie der Druckfallbeschwerden und ihre Anwendung auf Tauchtabellen. Respiration, S.327-361, New Haven: Yale University Press 1935. Int. Z. angew. Physiol. einschl. Arbeitsphysiol. 23 (1966), S.251-292.
- HALDANE, J.S. PRIESTLEY, J.G.

[6]

[7]

DES GRANGES, M.

- U.S. Navy Research Standard Report 5-57 (1956). Air Decompression Table. Experimental Diving Unit,
- [8] WORKMAN, R.D.
- Calculation of Decompression Schedules for Nitrogen-Oxygen and Helium-Oxygen Dives. Experimental Diving Unit Report 6-65 (1965).

Research U.S. Navy

- [9] SCHREINER, H.R.
- 1968 Puget Sound Symposium on physiological Problems of Man-in-the-Sea Seattle, Washington, U.S.A. (1968). Advances in Decompression Research.

in: Decompression sickness, P. 90. Philadelphia, London, Saunders 1951.

Unser Vorschlag für Ausschleusungstabellen für das Arbeiten unter
Druckluft

ANHANG

10 11 11 11 11 11 11 11 11 11 11 11 11 1		Tiefe [m]
54 480 480 480 420 420 420 360 360 360 360 360 360 360 36	zeit [min]	
4 C C C C C C C C C C C C C C C C C C C	ersten Stufe [min]	r
4 (4) 4	12 m	
11 (14) 25 (28) 25 (28) 10 (10) 17 (19) 27 (31) 27 (31) 38 (42) 49 (53) 57 (60)	т 6	Aufenthal auf den [m
21 (17) 26 (22) 40 (36) 54 (50) 67 (63) 74 (65) 79 (65) 70 (65) 72 (65) 72 (65) 73 (65)	6 ш	tszeit Stufe in]
24 (14) 24 (29) 59 (46) 69 (55) 84 (69) 90 (75) 86 (71) 91 (76) 91 (76) 95 (80) 107 (90) 1111 (97) 85 (70) 85 (70) 92 (77) 95 (80) 100 (83) 100 (83) 100 (83)	3 m	en n
4 (4) 6 (4) 6 (4) 6 (4) 6 (4) 6 (4) 6 (5) 6 (5) 6 (5) 7 (5) 7 (5) 115 (96) 115 (96) 115 (135) 120 (195) 151 (135) 151 (151) 152 (151) 153 (151) 154 (135) 154 (135) 154 (135) 154 (135) 157 (151) 185 (167) 200 (182) 217 (197) 251 (227)	E	- L. L. O

Tabelle 7 Lange Isopressionszeiten, die eingeklammerten Werte  $M_0(T_H) = 16 \text{ m für } T_H = 80$ Dekompression in Druckluft; wurden berechnet mit - 600.

TEA.

Or water.

34

11

Common constitution of the

Tabelle 8 Lange Isopressionszeiten, Dekompression ab 9 m in Sauerstoff.

the water.

144 -460g-

										. Walter	an and the													
	30	29	28	27	26	25	24	23	22	21	20	19	18	17	16	15	14	13	12	11	10			Tiefe [m]
	120	120	120	120	120	10	120	12	10	O	2	10	120	2	$\sim$	1	12	120	$\omega$	8	12	[11.11]		Iso- pressions-
	7	7	7	6	7	7	6	6	.6	. CT	OT.	6	. OT	υτ	UI	4	4	٥٦	4	4	4	[min]	ersten	Zeit bis zur
		•				1.00	***************************************												•			12 m		Aufe au
		10	7	4		•																9 m	l E	Aufenthaltszeite auf den Stufen
	28	25	23	24	23	20	17	13	10	6	· 1/2											6 т	[min]	tszei: Stuf
	67	63	59	53	50	47	44	41	37	33	00	26	(1)	100	14	9	4					3 m		ten en
	115	105	96	000	0 00	74	57	60	\ 5	44	35	32	27	23	19	13	00	U1	4	4	4	E +	zeit	Dekom- pressions-

Tabelle 9 Kurzelsopressionszeiten, Dekompression in Druckluft.

^	•	1
_	χ	

39

ab 9 m in	Isopressionszeiten, Dekompression toff.	Dekom	iten,	ionsze:	CO:	10	<b>Tabelle</b>
110 110 110 110 110 110 110 110 110 110	10 10 10 10 10 10 10 10 10 10 10 10 10 1	1 6 8 11 11 11 11 11	O C C C C C C C C C C C C C C C C C C C			120 120 120 120 120 120 120 120 120 120	10 11 12 12 14 15 16 16 17 18 20 21 22 22 23 25 26 28
[min]	3 ш	6 ш	ш 6	12 m	[min]		
Dekom- pressions- zeit	ten en	Aufenthaltszeiten auf den Stufen [min]	nthali f den [mj	Aufen auf	Zeit bis zur ersten	Iso- pressions- zeit	Tiefe [m]

#### A N II A N G 2

#### A 2. Analyse der im Institut für Flugmedizin der DFVLR ausgeführten Dekompressionsversuche

#### A 2.1 Erläuterung

Ähnliche Dekompressionsversuche sind zu einer Gruppe zusammengefaßt worden. Zu Beginn einer jeden Gruppe wird aufgeführt

Überschrift

Beschreibung der Gaszusammensetzung auf den einzelnen Stufen Kurzprotokoll der einzelnen Versuche.

Anschließend sind die einzelnen Versuche mit den Druckstufen, Aufenthaltsdauern und den in den einzelnen Compartments (s. Tabelle 6) entstandenen maximalen Gesamtüberspannungen aufgeführt.

#### A 2.1.1 !berschrift

Beispiel

